

1. まえがき：一般に三軸試験機により土のダイレイタンシー特性を直接調べるには平均主応力一定試験が行われるが、これはひずみ制御が困難であり、主応力方向が一定など土のようにせん断初期から降伏するような材料の応力～ひずみ特性を調べる上で制約がある。ここでは以上のようないくつかの制約のない中空ねじり試験機により砂の排水試験を行った結果を報告する。

2. 実験方法：中空ねじり試験機は中空供試体($2R_c=10\text{cm}$, $2R_f=6\text{cm}$, $H=10\text{cm}$)の下端を固定し、上端にトルクを加え、3型式のものである(Fig.1)。試料は豊浦砂($G_s=2.64$, $\sigma_{\max}=0.96$, $\epsilon_{min}=0.64$, $D_c=1.46$)を用いた。供試体は不飽和状態の試料をモールド内にスプーンで5層に分けて注ぎ、各層に付録鋼製の突棒(径 1.2cm , 長さ 18.5cm 重さ 155g)でタッピングして作製し、 -0.3kgf/cm^2 の真空を加え自立させてからモールドをはずし、供試体を三軸室へセットした。この後供試体中の間けき空気と炭酸ガスを入

れ換えてから脱気水を圧注(0.05kgf/cm^2)で流し飽和させ、等方圧密後($\sigma_a=\sigma_r=1.0\text{kgf/cm}^2$)、排水状態でひずみ制御($\dot{\gamma}=0.34\%/\text{min}$ or $\theta=0.50^\circ/\text{min}$)

でせん断を行った。せ

ん断中は供試体の高さ変化を

ダイヤルゲージで、体積変化

をゼンマート(容量 25CC , 最小

目盛 0.1CC)で測定した。なお

トルク及び回転角は供試体上

部でそれぞれ測定した。なお

中空供試体ではあるがせん断

ひずみの分布は半径方向に不

均一であるため $I = \frac{1}{2}(I_o + I_i)$

における値を採用した。また

せん断応力の分布は半径方向

に非線形と考えられるため弾

性体及び剛-完全塑性体の2

つの分布を仮定し、両者の

$I = \frac{1}{2}(I_o + I_i)$ における平均値

をせん断応力としてした。

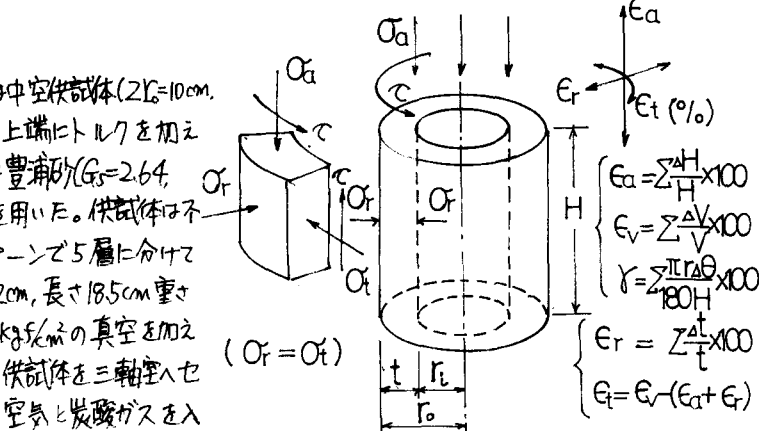


Fig. 1 供試体、ひずみ

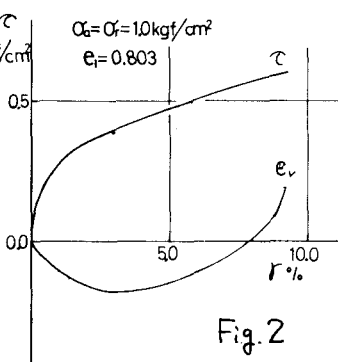


Fig. 2

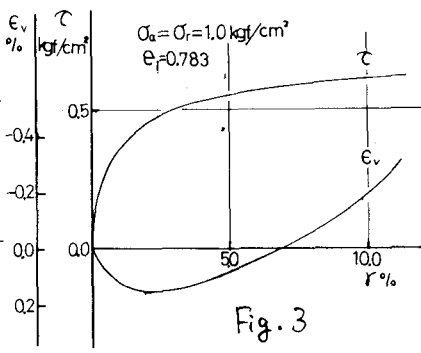


Fig. 3

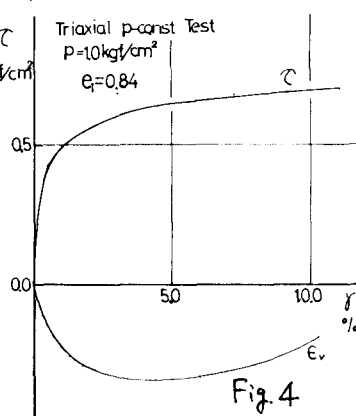


Fig. 4

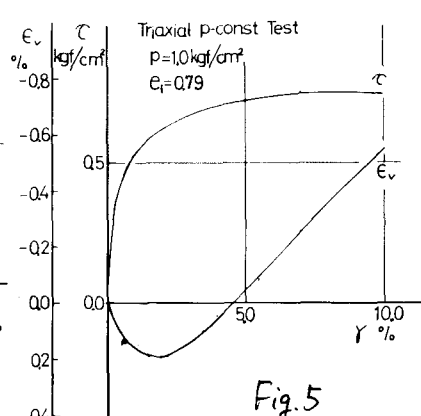


Fig. 5

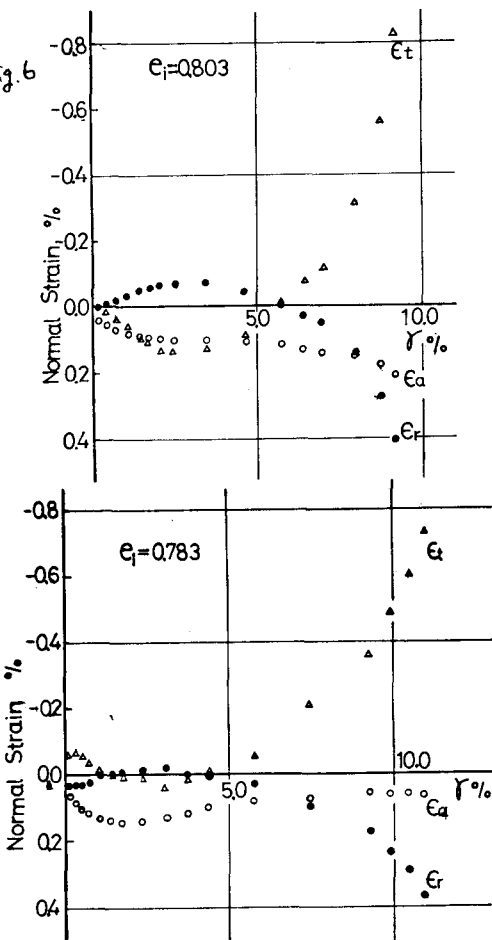
3. 実験結果：中空ねじり試験機により求めた応力～ひず

み関係がFig.2~3であり。比較する意味で三軸試験機による結果をFig.4~5に示してある。これらにおける体積変化Fig.6は全てせん断応力のみによるものであるが、三軸試験の結果の方が初期剛性、最大せん断応力共に大きいことを考えると、これらの差異が両者の体積変化特性の違いに関係しているものと考えられる。今回の実験では等方圧密状態でせん断をしているため、主应力方向はせん断前は不定、せん断開始時より軸方向より45°の方向に確定するよう有特別な場合に相当するので、中空ねじり試験における主应力方向の回転による主应力増分、主应力増分の方向等の三軸試験との差異については次回に述べる。左記、ここで注意しておきたいのは中空ねじり試験(ひずみ制御)と三軸試験(応力制御)とでは供試体形状・寸法、応力状態、せん断型式、主应力方向の回転の有無等の相違があることである。次にFig.6~7にせん断半径試験体などのように変形ひずみを求めるために垂直ひずみ(E_a)、体積ひずみ(E_v)は供試体の高さ変化、体積変化の実測値により得られるが、半径方向ひずみ(E_r)、周方向ひずみ(E_t)は次のようにして求めた。

$$\left\{ \begin{array}{l} E_r = \frac{\Delta t}{t} \times 100 (\%) \quad t = \frac{A}{2\pi r} = \frac{\nabla}{2\pi E H} \\ E_t = E_r - (E_a + E_r) (\%) \end{array} \right.$$

(ひずみは全て収縮を正とした)

Fig.7



これらの図から両者に共通して見えることは周方向ひずみの絶対値が最も大きく、せん断半径方向ひずみ(E_r)と周方向ひずみ(E_t)は相反していることである。以上の結果は供試体の膨張は主に周方向(つまりせん断方向)への膨張であることを示している。また供試体が収縮しているときには供試体は半径方向に膨らみ周方向に収縮している。供試体が膨張しているときとその逆であることを示している。

4. 結論：中空ねじり試験機により別の排水試験を実施したところ次の結果を得られた。

- (1) 応力～ひずみ関係は三軸試験とはほぼ同じものが得られるが、三軸試験の方が初期剛性、最大せん断応力共に大きく、これらにより体積変化特性を異にするようである。
- (2) 供試体の膨張は主に周方向(せん断方向)への膨張であり、供試体が収縮(膨らみ)しているときには供試体の半径方向に膨らみ(縮み)周方向に収縮(膨らみ)傾向がある。これらには、このガラスせん断を受けたときの一般的な性質があり、地盤がせん断応力を受ける場合もこのような現象が生じるのをどうかはさらにデータの蓄積を行ないながらといものと考えている。

5. 謝辞：本実験を実施するにあたり三木教授に適切な助言をいただき、また本文中の三軸試験のデータを同じ研究室のD1 大河内氏に提供していただいた。ここに末筆ながら感謝します。

6. 参考文献：Lade, P.V., (1972): The Stress-Strain and Strength Characteristics of Cohesionless Soils.